

УДК 535.372

## ОБ ЭФФЕКТИВНОСТИ ПРОЦЕССОВ КОЛЕБАТЕЛЬНОЙ ДЕЗАКТИВАЦИИ И ТУШЕНИЯ ЭЛЕКТРОННО-ВОЗБУЖДЕННОЙ МОЛЕКУЛЫ $J_2^1$

Е. Д. Бугрим, С. Н. Макренко и И. Л. Цикора

Методом резонансной флуоресценции получены значения вероятностей процессов колебательной дезактивации и тушения  $B^3\Pi_{0u}^+$  ( $v'=6$ ) состояния молекулы иода при столкновении с He, H<sub>2</sub>, Ne, Ar, N<sub>2</sub>, O<sub>2</sub>, Co, Co<sub>2</sub>, Kr, J<sub>2</sub>. Найдено, что зависимость эффективности превращения колебательной энергии в поступательную от времени столкновения имеет резонансный характер. Эффективность тушения состояния  $B^3\Pi_{0u}^+ J_2$  с колебательных уровней вблизи шестого быстро растет с увеличением приведенной массы сталкивающихся частиц.

В последнее время достигнут определенный успех в теоретическом и экспериментальном исследовании процесса обмена энергией между колебательными и поступательными степенями свободы при столкновении. Однако большая часть этих исследований посвящена основному электронному состоянию и ощущается недостаток в экспериментальных данных об эффективности процесса колебательной дезактивации в возбужденном электронном состоянии.

В предыдущей работе [1] предложен метод определения эффективных поперечных сечений для процессов колебательной дезактивации и тушения двухатомных молекул в возбужденном электронном состоянии при монохроматическом возбуждении. Метод иллюстрировался на примере молекулы J<sub>2</sub>, возбуждаемой в состояние  $B^3\Pi_{0u}^+$  ( $v'=6$ ) лазерным излучением  $\lambda=0.63$  мкм. Были определены эффективные поперечные сечения процессов колебательной дезактивации и тушения  $J_2^*$  ( $B^3\Pi_{0u}^+$ ) при столкновении с He, N<sub>2</sub>, Ar.

Настоящая работа посвящена решению двух основных задач — исследованию зависимости эффективности процессов: а) колебательной дезактивации от продолжительности столкновения; б) индуцированной предиссоциации от молекулярных параметров налетающих частиц.

В работе использованы (с незначительными изменениями) описанные в [1] экспериментальная установка, методика эксперимента и методика математической обработки экспериментальных данных.

### Самотушение

При исследовании флуоресценции иода было замечено, что при постепенном увеличении концентраций иода в кювете флуоресценция вначале растет почти пропорционально концентрации, а затем достигает своего максимального значения и при дальнейшем увеличении концентрации J<sub>2</sub> в кювете не меняется. Это явление стабилизации флуоресценции объясняется наличием процесса самотушения, приводящего к разрушению возбужденного электронного состояния при столкновении с молекулами иода в основном состоянии. Ранее [1] указывалось, что в чистом иоде в диапазоне

<sup>1</sup> Доложено на V Всесоюзной конференции по физике электронных и атомных столкновений.

давлений  $0 \div 0.25$  мм рт. ст. флуоресценция представляет преимущественно излучение с шестого колебательного уровня возбужденного электронного состояния. Отсутствие излучательных переходов с соседних колебательных уровней свидетельствует о малой эффективности процесса колебательно-поступательного обмена энергией в чистом иоде. Принимая во внимание этот факт, известную формулу Штерна—Фольмера

$$I^{-1} = k (N^{-1} + Z_0^c) \quad (1)$$

можно использовать для нахождения эффективного поперечного сечения процесса самотушения из измерений интенсивности только одной полосы.

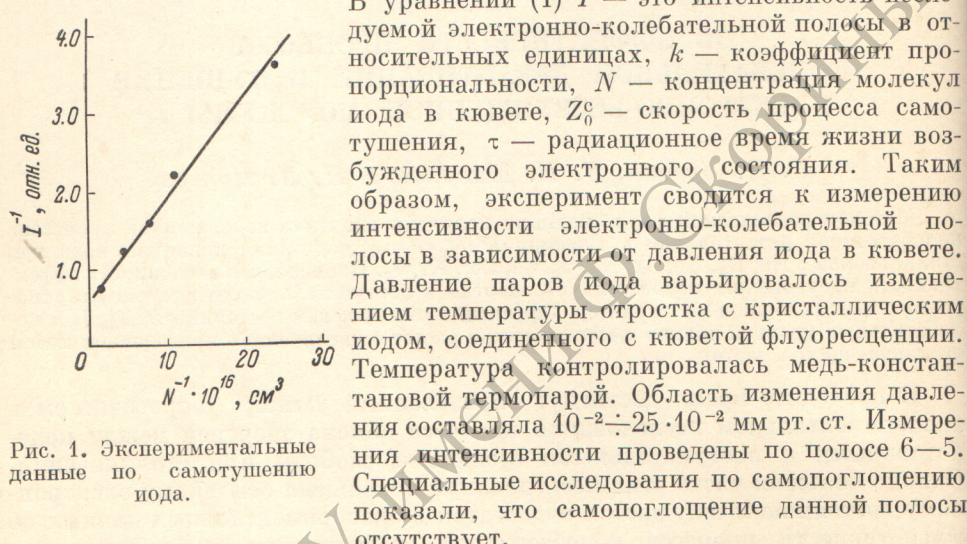


Рис. 1. Экспериментальные данные по самотушению иода.

Рабочий график, используемый для нахождения константы скорости процесса самотушения, приведен на рис. 1. Используя радиационное время жизни  $\tau = 0.74$  мксек., взятое из [2], получено значение скорости самотушения  $Z_0^c = 5.22 \cdot 10^{-10} \text{ см}^3/\text{молек. сек.}$ , соответствующее эффективному поперечному сечению самотушения  $\sigma_c = 233 (\text{\AA})^2$ . Данное значение сечения самотушения и взятое из [2] время жизни  $B^3\Pi_{0u}^+ (v' = 5, 6)$  состояния использовались в дальнейшем при обработке экспериментов по колебательной дезактивации и тушению посторонним газом.

### Колебательная дезактивация

Математическая модель процесса колебательной дезактивации, используемая при обработке экспериментальных данных, основана на предположении об одноквантовом характере колебательно-поступательных энергетических превращений [1]. Справедливость этого предположения для молекулы иода была нами проверена расчетом матричных элементов  $\int \psi_m \hat{V} \psi_n dr$  перехода молекулы иода ( $B^3\Pi_{0u}^+$ ) из  $m$ -го колебательного состояния в  $n$ -ное под действием возмущающего потенциала межмолекулярного взаимодействия, эффективная часть которого имеет вид

$$V(r) = C \exp[-\alpha \lambda (r - r_e)],$$

где  $r$  — межъядерное расстояние,  $\alpha$  — параметр потенциала,  $\lambda = 1/2$  для гомоядерных молекул.

Молекула иода ( $B^3\Pi_{0u}^+$ ) аппроксимировалась осциллятором Морзе, а эффективная часть возмущающего потенциала раскладывалась в ряд Тейлора и удерживались два первых члена этого разложения. Расчет на ЭВМ, проведенный для группы уровней с  $v' = 5, 6, 7$  при  $\alpha$ , меняющемся от 0.2 до  $0.4 \text{ \AA}^{-1}$ , дает отношение матричных элементов двухквантовых переходов к одноквантовым в пределах  $1.5 \cdot 10^{-2} \div 0.51 \cdot 10^{-2}$ , что вполне подтверждает

ранее сделанное предположение о малой эффективности двухквантовых переходов.

В работе проведено исследование зависимости от времени столкновения эффективности колебательно-поступательного обмена энергией на низких колебательных уровнях  $B^3\Pi_{0u}^+$  состояния молекулы иода. Как показано в [3], в случае экспоненциального потенциала вида  $V = W_0 \exp(-\alpha r)$  точный расчет времени столкновения приводит к значению  $\tau_{ct.} = \pi / (\alpha v)$ . Поскольку  $v = (8kT / \mu)^{1/2}$ , среднее время столкновения может быть оценено как

$$\tau_{ct.} = (\pi^3 / 8kT)^{1/2} \alpha^{-1} \mu^{1/2},$$

т. е.  $\tau_{ct.} \sim \mu^{1/2}$ . Таким образом, оставляя неизменной температуру, можно варьировать продолжительность столкновения, изменяя  $\mu$  (при условии, что параметр  $\alpha$  одинаков для всех налетающих частиц). Данные по колебательной дезактивации приведены в табл. 1. Поведение величины  $P_{6-5}$  (вероятности перехода молекулы с шестого колебательного уровня на пятый на одно столкновение) в зависимости от  $\mu^{1/2}$  показано на рис. 2. Значения вероятностей  $P_{6-5}$  взяты лишь для инертных газов, так как только в этом случае можно ожидать, что потенциал взаимодействия будет мало меняться при переходе от одного партнера по столкновению к другому. Как видно из рис. 2, полученная зависимость вероятности от времени столкновения имеет максимум. Такое поведение эффективности колебательной дезактивации может быть объяснено на основании предположения о том, что эффективное перечесное сечение неупругого взаимодействия максимально на границе адиабатичности. Имеющиеся в настоящее время экспериментальные данные [4-7] и численные расчеты [8] подтверждают это предположение в отношении колебательно-поступательного обмена. Поскольку условие адиабатичности для дезактивации колебательных степеней свободы имеет вид  $\omega \tau_{ct.} \gg 1$ , можно предположить, что именно соотношение  $\omega \tau_{ct.} = 1$  будет определять положение максимума. Исходя из справедливости последнего условия, предполагающего равенство между периодом колебания и временем столкновения, можно оценить параметр межмолекулярного взаимодействия  $\alpha^{-1}$ .

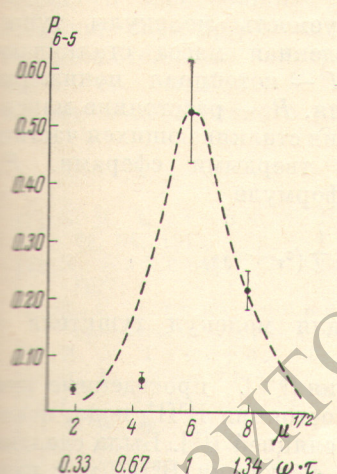


Рис. 2. Вероятность колебательно-поступательного обмена в зависимости от приведенной массы в степени 1/2.

Период колебания, соответствующий  $\Delta G_v = 116 \text{ см}^{-1}$  ( $B^3\Pi_{0u}^+, v' = 6$ ), равен  $t = 2.88 \cdot 10^{-13}$  сек. Тогда, оценивая  $\alpha^{-1}$  как

$$\alpha^{-1} = t \left( \frac{8kT}{\pi^3 \mu} \right)^{1/2}.$$

получим значение  $\alpha^{-1} = 0.4 \text{ \AA}$ . (Общепринятые пределы изменения  $\alpha^{-1}$  составляют  $0.2 - 0.5 \text{ \AA}$  [3]).

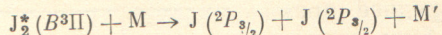
Таблица 1

Эффективные поперечные сечения и вероятности колебательно-поступательного обмена при столкновении

Партнер по столкновению	$\sigma_{6-5}, \text{\AA}^2$	$P_{6-5}$
$H_2$	$2.46 \pm 0.96$	$0.042 \pm 0.016$
$He$	$2.22 \pm 0.24$	$0.036 \pm 0.0048$
$Ne$	$3.18 \pm 0.90$	$0.056 \pm 0.016$
$N_2$	$28.2 \pm 1.68$	$0.40 \pm 0.024$
$CO$	$18.8 \pm 4.1$	$0.27 \pm 0.06$
$O_2$	$25.0 \pm 9.0$	$0.36 \pm 0.13$
$Ar$	$36.6 \pm 6.0$	$0.53 \pm 0.09$
$CO_2$	$79.8 \pm 31.2$	$0.96 \pm 0.36$
$Kr$	$14.8 \pm 2.4$	$0.22 \pm 0.036$

При переходе от одного партнера по столкновению к другому. Как видно из рис. 2, полученная зависимость вероятности от времени столкновения имеет максимум. Такое поведение эффективности колебательной дезактивации может быть объяснено на основании предположения о том, что эффективное перечесное сечение неупругого взаимодействия максимально на границе адиабатичности. Имеющиеся в настоящее время экспериментальные данные [4-7] и численные расчеты [8] подтверждают это предположение в отношении колебательно-поступательного обмена. Поскольку условие адиабатичности для дезактивации колебательных степеней свободы имеет вид  $\omega \tau_{ct.} \gg 1$ , можно предположить, что именно соотношение  $\omega \tau_{ct.} = 1$  будет определять положение максимума. Исходя из справедливости последнего условия, предполагающего равенство между периодом колебания и временем столкновения, можно оценить параметр межмолекулярного взаимодействия  $\alpha^{-1}$ .

Тушение флуоресценции иода газом-примесью было обнаружено еще Вудом [9] и с тех пор интенсивно изучается. Тернером [10] было найдено, что при облучении паров иода светом в области его дискретного поглощения появляются атомы иода в основном состоянии. На основании этих данных было сделано предположение, что тушение флуоресценции иода обусловлено процессом индуцированной предиссоциации. Ресслер [11] впервые указал на то, что эффективность индуцированной предиссоциации, описываемой уравнением типа



должна быть пропорциональна поляризуемости тушащего газа и продолжительности столкновения, т. е. приведенной массе сталкивающихся частиц в степени 1/2. Систематический квантовомеханический подход к решению проблемы был сделан, однако, совсем недавно [12] в работе Сельвина и Стейнфельда.

Рассматривая тушение как процесс, обусловленный вандерваальсовым взаимодействием, и, применяя известный результат [13] для константы скорости перехода квантовой системы из дискретного энергетического состояния в непрерывное под действием возмущения, ими было найдено, что сечение процесса тушения должно быть пропорционально величине

$$S = \frac{\beta \mu^{1/2} I}{R_c^3},$$

где  $\beta$  — поляризуемость молекулы тушителя,  $\mu$  — приведенная масса сталкивающихся частиц,  $I$  — потенциал ионизации молекулы-тушителя,  $R_c$  — расстояние максимального сближения сталкивающихся частиц, приближаемых твердыми сферами.  $R_c$  определяется по формуле

$$R_c = \frac{1}{2} (\sigma_t + \sigma_{J_2^*}),$$

Рис. 3. Зависимость эффективного поперечного сечения тушения от параметра Сельвина.

где  $\sigma_t$  и  $\sigma_{J_2^*}$  — параметры Леннарда—Джонса для молекул тушителя и иода соответственно.

Обширные экспериментальные исследования [5—7], проведенные при возбуждении высоких колебательных уровней состояния  $B^3\Pi_{0u}^+$  иода, показали неплохое согласие с указанной выше корреляцией [11]. Была сделана попытка определения эффективности тушения состояния  $B^3\Pi_{0u}^+$  и с низких колебательных уровней этого состояния [15]. Однако применявшиеся источники возбуждения невысокой монохроматичности (с полушириной 40–50 Å), методика измерений, использовавшая только спад интегральной интенсивности флуоресценции, а не полной заселенности возбужденного электронного состояния, ставят под сомнение достоверность полученных в работе результатов, а сделанный авторами вывод об отсутствии тушения состояния  $B^3\Pi_{0u}^+$  иода с колебательными уровнями  $v' \leqslant 7$  кажется необоснованным.

Таким образом, в настоящее время отсутствуют надежные данные об эффективности процесса тушения молекулы иода с низких колебательных уровней состояния  $B^3\Pi_{0u}^+$  и в данной работе сделана попытка восполнить этот пробел.

Результаты наших экспериментов приведены в табл. 2. Используя эти данные и рассчитав значение «セルвиновского» параметра  $S$  для каждой

Таблица 2

## Эффективные поперечные сечения и вероятности процесса тушения

Партнер по столкновению	Приведенная масса, $\mu$	$\sigma_{\text{тущ.}} (\text{\AA})^2$	$P_{\text{тущ.}}$
H <sub>2</sub>	1.99	3.0 $\pm$ 0.24	0.051 $\pm$ 0.004
He	3.94	0.82 $\pm$ 0.21	0.016 $\pm$ 0.004
Ne	18.8	2.3 $\pm$ 0.76	0.042 $\pm$ 0.014
N <sub>2</sub>	25.2	11.5 $\pm$ 2.34	0.16 $\pm$ 0.033
CO	25.2	23.0 $\pm$ 3.7	0.33 $\pm$ 0.053
O <sub>2</sub>	27.4	11.0 $\pm$ 3.5	0.15 $\pm$ 0.049
Ar	34.5	5.36 $\pm$ 0.88	0.078 $\pm$ 0.013
CO <sub>2</sub>	37.5	28 $\pm$ 6.5	0.34 $\pm$ 0.08
Kr	62.5	22.5 $\pm$ 1.35	0.33 $\pm$ 0.02

пары сталкивающихся частиц, мы получим зависимость эффективного поперечного сечения процесса тушения  $\sigma_{\text{тущ.}}$  от параметра  $S$ , представленную на рис. 3. (Использованные при расчете параметры значения поляризумости и параметров Леннарда—Джонса взяты из [16], а потенциалов ионизации из [17]). Для сравнения на рис. 3 приведены результаты по тушению колебательного уровня  $v'=25$ , взятые из [6]. Как видно, из рис. 3, корреляция сечения тушения с параметром Сельвина выполняется как для  $v'=25$ , так и для  $v'=6$ . Кроме того, эти сечения являются величинами одного порядка. Все это вместе взятое позволяет сделать вывод о том, что как для высоких, так и для низких колебательных уровней ответственным за процесс тушения флуоресценции, а следовательно, и за распад возбужденного электронного состояния является механизм индуцированной столкновением предиссоциации. Это в свою очередь предполагает наличие отталкивателяного электронного состояния молекулы иода, коррелирующего с его основным  $X^1\Sigma_g^+$  состоянием и пересекающего состояние  $B^3\Pi_{0u}^+$  вблизи колебательного уровня с  $v'=6$ .

## Литература

- [1] Е. Д. Бугрим, С. Н. Макренко, И. Л. Цикора. Опт. и спектр., 34, 64, 1973.
- [2] K. Sakuragi, G. Capelle, H. R. Broda. J. Chem. Phys., 54, 1220, 1971.
- [3] Е. В. Ступченко, С. А. Лосев, А. И. Осипов. Релаксационные процессы в ударных волнах. М., 1965.
- [4] Н. А. Генералов, В. Д. Косянкин. ДАН СССР, 175, 1033, 1967.
- [5] R. L. Brown, W. Klemperer. J. Chem. Phys., 41, 3072, 1964.
- [6] J. I. Steinfield, W. Klemperer. J. Chem. Phys., 42, 3475, 1964.
- [7] R. B. Kurzel, J. I. Steinfield. J. Chem. Phys., 53, 3293, 1970.
- [8] А. И. Осипов. Изв. АН СССР, сер. физ., 28, 134, 1964.
- [9] R. W. Wood. Verh. Deutsch. Phys. Ges., 13, 72, 1911.
- [10] L. A. Turner. Phys. Rev., 41, 627, 1932.
- [11] F. Rossler. Z. Phys., 96, 251, 1935.
- [12] E. Selwyn, J. I. Steinfield. Chem. Phys. Lett. 42, 17, 1969.
- [13] Э. Ферми. Квантовая механика. М., 1968.
- [14] J. I. Steinfield, A. N. Schweid. J. Chem. Phys., 53, 3304, 1970.
- [15] J. I. Steinfield. J. Chem. Phys., 44, 2740, 1966.
- [16] Дж. Гиршфельдер, Ч. Кертисс, Р. Берд. Молекулярная теория газов и жидкостей. М., 1961.
- [17] В. Н. Веденеев, Л. В. Гурвиц. Энергии разрыва химических связей. Потенциалы ионизации и сродство к электрону. М., 1962.

Поступило в Редакцию 11 июня 1973 г.